

# 电流相位比較式 高週波保护裝置講義

辽宁省電業局沈陽中心試驗所編



水利电力出版社

448296  
3439



电流相位比較式  
高週波保护装置講义  
辽宁省電業局沈陽中心試驗所編

\*

841D307

水利电力出版社出版 (北京西郊科学路二里牌)

北京市書刊出版業營業登記證字第105號

水利电力出版社印刷厂排印 新华书店發行

\*

850×1168毫米开本 \* 2<sup>1</sup>/<sub>8</sub>印張 \* 63千字

1958年6月北京第1版

1958年6月北京第1次印刷(0001—4,300册)

统一書号: 15143·716 定价(第10类)0.44元

# 目 录

## 前 言

第一 节	系統短路时，被保护線路两侧电流相位的关系	3
第二 节	高週波保护装置的动作原理	4
第三 节	电流相位比較回路的工作原理	5
第四 节	外部短路时保护装置的动作情况	6
第五 节	内部短路时保护装置的动作情况	7
第六 节	$A_1, A_2$ 起动繼电器的作用	8
第七 节	相位特性曲綫	9
第八 节	极性繼电器的整定及閉鎖角	12
第九 节	負序滤过器的工作原理	17
第十 节	操作滤过器	20
第十一 节	操作回路	25
第十二 节	电流相位比較回路	28
第十三 节	$\Delta\Phi3-2$ 型保护装置的交流回路	30
第十四 节	直流回路	36
第十五 节	不对称短路时，无相繼动作区的最大被保护線 路长度	45
第十六 节	訊号繼电器等的作用	47
第十七 节	$\Delta\Phi3-2$ 型保护装置的优缺点	49
第十八 节	$\Delta\Phi M-1$ 型高頻保護裝置的構造及工作原理	52
第十九 节	部件檢驗方法	61
第二十 节	利用負荷電流進行試驗	74
第二十一 节	整組動作試驗	75
第二十二 节	試驗儀器及設備	78

## 前　　言

电流相位比較式高週波保护装置目前被公認為能滿足复杂長  
线路繼电保护要求的保护方式。在苏联，对于高週波保护装置，  
經過使用后的不断改进，无论在結構原理上及元件构造上都是全  
世界最先进的。而且由多年的运行經驗証明，这种保护装置动作  
准确可靠，缺点极少，故已在主要电力系統及新建线路中大量采  
用。

本書為苏联专家瓦文（В.Н.Вавин）同志在前沈阳電业管理局  
中心試驗所（現辽宁省電业局沈阳中心試驗所）举办的“高週波保  
护装置訓練班”中所作的高週波保护装置有关繼电器部份的演講  
記錄，內容詳細闡述电流相位比較式高週波保护装置的动作原理  
及优缺点，並指出其重要性，最后並論及ДФ3-2型高週波保护裝  
置繼电器部份的檢驗及調整方法，对繼电保护工作人員具有很大的  
的参考价值，並可作为一般电力系統工作人員的参考。

本記錄稿雖經審慎校对但未經专家审閱，內容如有錯誤由記  
录者負責。

## 第一节 系统短路时，被保护线路两侧 电流相位的关係

高週波保护裝置应裝設在線路两侧。与線路連接时，其极性如图 1 符号所示，如在被保护線路外部短路时，其短路电流  $I$  方向及对应的向量图如图 1a 及 b， $I_M$  方向与  $I$  相同， $I_N$  方向则与  $I_M$  相反，故两者差角为  $\varphi = 180^\circ$ 。

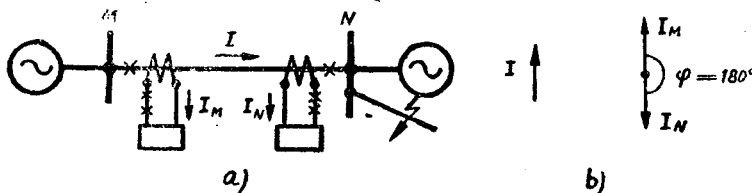


图 1

線路通过負荷电流时，其两侧电流方向关系与外部短路时相同。如在被保护線路内部短路时， $I_M$  与  $I_N$  同相，故其电流相差角  $\varphi = 0^\circ$ ，如图 2 所示。

如短路前两侧电  
动势为  $E_M, E_N$ ，其間

差角为  $\delta$ ，系統正常运行时， $\delta$  角一般均小于  $60^\circ$ ，今設短路前  $\delta = 70^\circ$ ，且短路点靠近  $N$  側，如图 3 所示，则  $I_M$  退后于  $E_M$  的角度由发电机，變压器，及線路的总阻抗决定。但因線路阻抗較大，故可只按線路阻抗角計算。線路阻抗角一般約為  $60^\circ$ ，故可設  $\varphi_k = 60^\circ$ 。

$I_N$  所通过的線路极短，故  $I_N$  与  $E_N$  间的角度，主要乃由发电机及變压器的阻抗决定，故  $\varphi'_{k'} = 90^\circ$

由图 3，可知  $I_N$  与  $I_M$  间的总角度  $\varphi$  为：

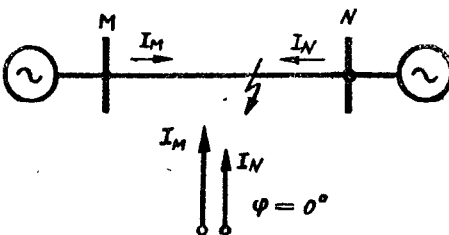


图 2

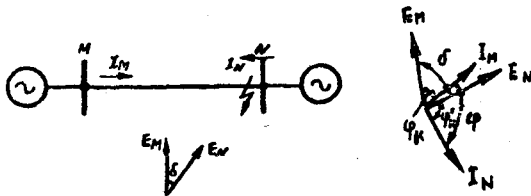


图 3

$$\varphi = 90^\circ + 70^\circ - 60^\circ = 100^\circ.$$

故可得表 1.

表 1

由表1可知线路内部短路和外部短路时， $\varphi$ 角将不同，故可利用此特性制成本保护方式。

## 第二节 高週波保护装置的动作原理

高週波保护裝置必須利用耦合电容器与线路耦合，耦合电容器並有将高压电源隔离的作用，在线路两端有共振阻波器，对所使用的高週电流呈現之阻抗极大。

线路两侧收发机的工作週率相同，故线上仅有一发讯机发出讯号时，两侧收讯机均收到该讯号，如两侧的发讯机均发讯号时，则收讯机将同时收到该两讯号。

发讯机由振盪、放大及操作三部份組成，方向比較式高週波保护裝置无操作部份。电流相位比較式高週波保护裝置則借操作部份利用电流相位来控制发讯机。

电流(50A)經過操作滤过器而到发讯机的操作部份。操作滤过器的作用是将三相电流变为单相电流，故在各种不同短路故障种类下，均可用单相电压正确操作发讯机，否则須用三个发讯机各反应于每一相电流。操作互感器  $T_M$  的作用是升高操作滤过器的输出电压，因操作滤过器输出的电压較小。

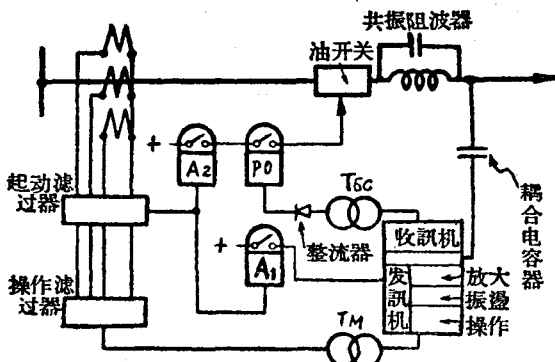


图 4

P.O. 为极性繼电器，用以比較線路兩側電流間的角度。

起動部份使用兩台電流繼電器  $A_1$ ,  $A_2$ ，其一用以起動發訊機，另一則用以準備跳閘，此兩繼電器均接于起動濾過器出口。

### 第三节 电流相位比較回路的工作原理

电流相位比較回路原理图如图 5。

如被保護線路上無高週訊號，則輸出管柵極與陰極上電位差接近零值，此時其屏極回路將有屏流通過，此屏流大小乃由互感器  $T_{sc}$  的阻抗， $MA$  表的內阻，及輸出管的電阻決定，因其值恆定，故名恒流  $I_{nox}$ 。

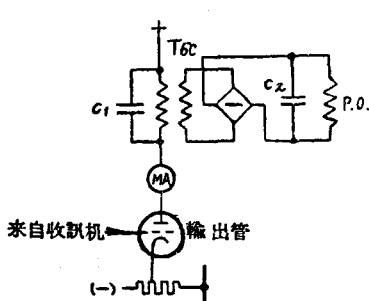


图 5

互感器一次側雖有恒流，但因其值不变故不能使其二次側產生電動勢、故極性繼電器

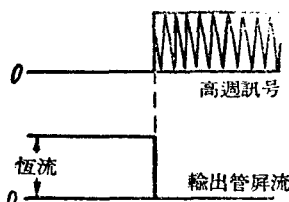


图 6

P.O. 中电流为零。

如线路上有一发讯机发出連續（即未操作的）的高週訊号，則輸出管柵极上出現負电压，使屏流降為零值。如图 6 所示。此時極性繼电器 P.O. 中电流亦為零。

发讯机未受  $50\text{~Hz}$  电流操作时，发出的是連續不断的高週訊号，受操作后，则发出非連續的高週訊号，当操作电流經過负半週时，发讯机停止输出訊号。如图 7,6 所示。

收訊机收到訊号时，輸出管的柵压为負，故屏流为零，无訊号时，柵压为零，屏流乃为恒流，如图 7,b。

$C_1$  的作用是使屏流的变化較緩如图 7,r。

$C_2$  的作用是滤波，使原来的脈动电流变为較平滑的直流如图 7,e。

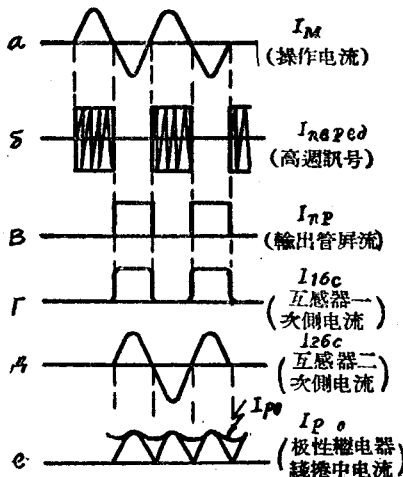


图 7

#### 第四节 外部短路时保护装置的动作情况

根据外部短路时线路两侧电流相位相差  $180^\circ$  之关系，及上节所述的电流相位比較回路的工作原理，可得此时保护裝置各部份电流值如图 9，故知極性繼电器 P.O. 線卷中无电流，其接点开放，保护裝置不动作。

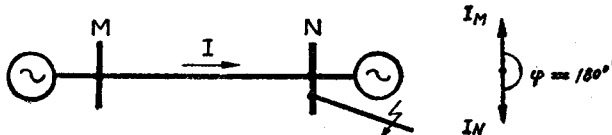


图 8

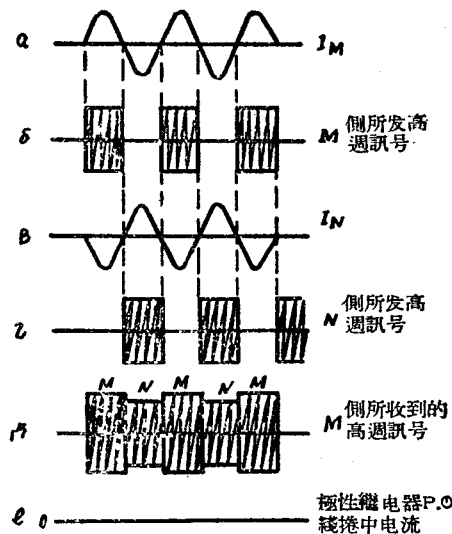


图 9

## 第五节 内部短路时保护装置的动作情况

被保护线路内部短路时，两侧电流相差角設为 $0^\circ$ ，則保护裝置各部份电流值如图 10，故知极性繼电器 P.O. 中有电流，保护裝置将动作。

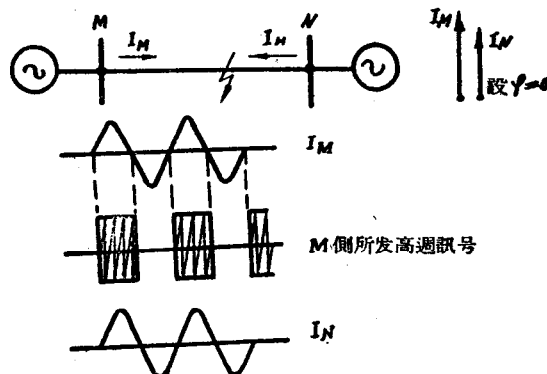
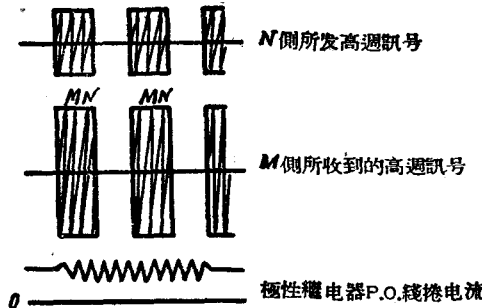


图 10



續圖 10

## 第六节 $A_1, A_2$ 起动繼电器的作用

$A_1, A_2$  繼电器乍看时，似不必要，但如无此起动繼电器时，高週波发訊机必須長時間連續运行，其內部真空管等部件因而易于损坏，可能引致保护裝置之誤动作，故必須使用  $A_1, A_2$  两繼电器作为起动元件。

不用  $A_2$  繼电器时，保护裝置动作将不可靠，原因如下：

(一) 发訊机长期运行，可能发生故障，此时如任一发訊机故障，则綫路两侧收訊机均仅收到一个被操作的高週訊号，保护裝置乃誤动作。

(二) 收发机內真空管的可靠性較低。

故图 4 中极性繼电器 P.O. 接点必須与  $A_2$  繼电器接点串联。仅用  $A_2$  而不用  $A_1$  时，则可能发生下述缺点：

設图 11 中綫路  $M, N$  两侧保护裝置仅有一起动繼电器，並設其整定值为  $I_{y,cm} = 100$  安。但因儀表誤差等种种关系，两侧起动繼电器整定后，其动作电流实际上不绝对相同，此誤差可能至  $\pm 5\%$ ，今設  $M$  侧实际动作电流为 95 安， $N$  侧实际动作电流为 105 安，则如此时发生外部短路，而短路电流又恰巧是 100 安，

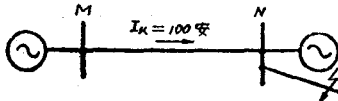


图 11

*M* 側保護裝置起動，*N* 側則不能起動，故線路上仅有 *M* 側發訊機發出訊號，線路兩側收訊機所接收者乃斷續的高週訊號，按前述原理，線路乃自 *M* 側被斷開。为了避免上述誤動作，必須采用兩起動繼電器，其一起動高週波發訊機。另一則準備跳閘，起動發訊機所用的繼電器 *A*<sub>1</sub>，應較準備跳閘用的繼電器 *A*<sub>2</sub>，為灵敏，即：

$$I_{y_{cm \cdot A_2}} = K_n I_{y_{cm \cdot A_1}}. \quad (1)$$

式中 *K*<sub>n</sub>——可靠系数，其值規定为 1.6~2。

保护装置由三部份組成，如下：

- (一) 起動部份——包括起動濾過器，起動繼電器 *A*<sub>1</sub>, *A*<sub>2</sub>；
- (二) 操作部份——包括操作濾過器，操作互感器 *T<sub>M</sub>*；
- (三) 电流相位比較部份——包括互感器 *T<sub>6c</sub>* 及极性繼電器 P.O.

## 第七节 相位特性曲綫

以 *I<sub>M</sub>* 与 *I<sub>N</sub>* 两电流向量相位相差 180° 开始，然后使 *I<sub>N</sub>* 按

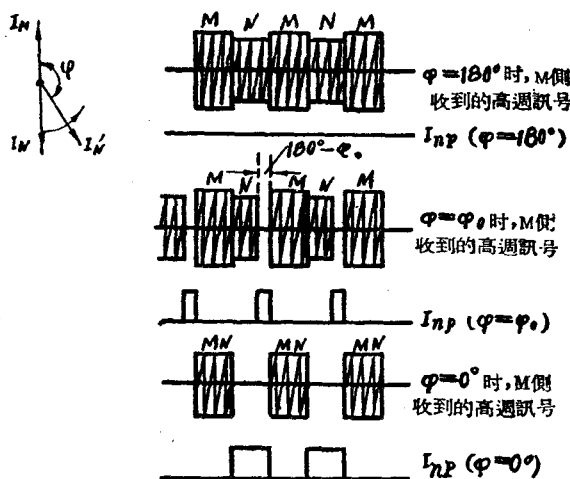


图 12

反時針方向旋轉  $360^\circ$ ，求極性繼電器 P.O. 中電流  $I_{po}$  與角度  $\varphi$  的關係，即  $I_{po} = f(\varphi)$  曲線。

輸出管屏流  $I_{np}$  於  $\varphi$  角變化時，其幅度相同，但有效數值則變化如圖 12。故極性繼電器 P.O. 中電流亦隨而變化，理論上可求得  $I_{po} = f(\varphi)$  曲線如圖 13。

圖 13 中曲線繪制時，是假定極性繼電器 P.O. 回路電流嚴格地正比於一次綜合高週訊號間隙寬度 ( $180 - \varphi$ )。實際上，由於不同的  $\varphi$  角使  $I_{np}$  中所包含的諧波數量也不同。這樣在經過互感器  $T_{6c}$  及濾波電容  $2C_5$ 、 $2C_6$ （見 76 圖）之後。電流  $I_{po}$  的平均值與  $\varphi$  就成為如圖 14 的關係。

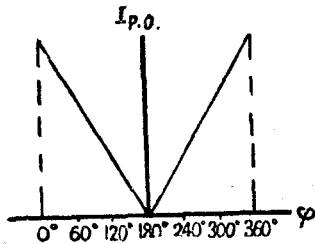


图 13

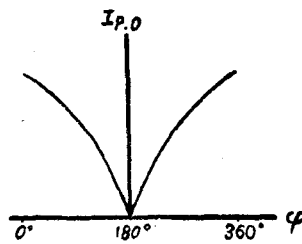


图 14

另外，圖 13 中曲線繪制時，假定高週訊號的寬度為  $180^\circ$ ，但實際上操作電壓為零時，發訊機仍發訊號，必須加入一負電壓，發訊機始能停止如圖 15，故高週訊號的寬度將較  $180^\circ$  為大，而中空部份則不足  $180^\circ$ 。

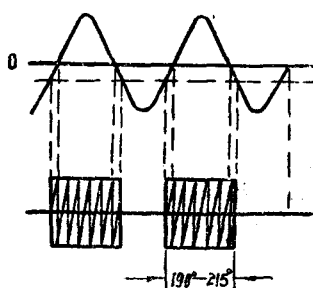


图 15

如高週訊號的寬度大於  $180^\circ$ ，則當  $\varphi = 180^\circ$  時，M 側所收到的高週訊號如圖 16 所示，圖中  $\alpha$  角稱為重疊角。一般約為  $10\sim35^\circ$ 。

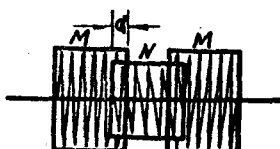


图 16

故  $I_N$  必須轉動  $\alpha$  后，始在極性繼電器 P.O. 線圈回路中出現電流，由此可見實際的相位特性曲線將如圖 17，曲線應相對垂直軸對稱，

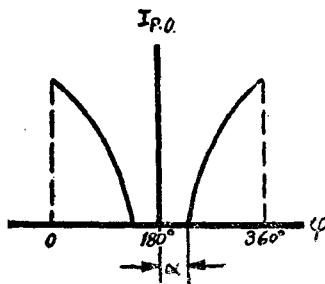


图 17

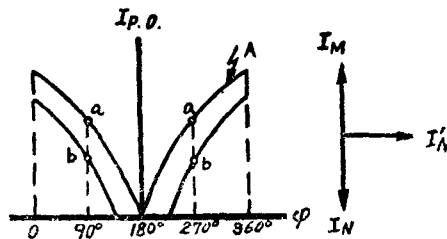


图 18

如高週訊號的寬度為  $180^\circ$ ，相位特性曲線將如圖 18 中之 A 曲線則當  $\varphi = \pm 90^\circ$  時， $I_{po}$  值將為曲線上 a 點對應的數值，如訊號寬度非  $180^\circ$ ，而有一重疊角  $\alpha$  時，則當  $\varphi = 90^\circ$  時，其實際差角為  $90^\circ - \alpha$  如圖 19，故  $I_{po}$  值較小如圖 18 中 b 點，同理，可求出當  $\varphi = 0$ ，或  $\varphi = 360^\circ$  時的實際  $I_{po}$  值，此  $I_{po}$  值較訊號寬度為  $180^\circ$  時為小，原因是兩訊號重疊後其中空部份較小，如圖 20：

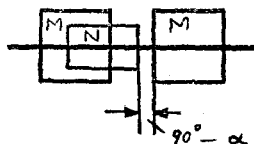


图 19

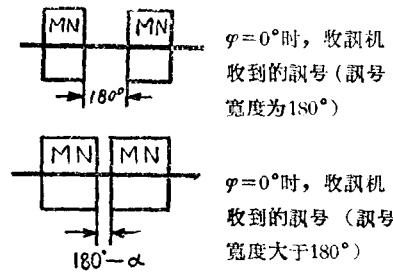


图 20

故極性繼電器中電流與恒流幅度及訊號的寬度有關，如下：

- (一) 恒流幅度愈大，則繼電器中電流  $I_{po}$  愈大。
- (二) 高週訊號的寬度愈大，則重疊角  $\alpha$  愈大，繼電器中電流  $I_{po}$  愈小。

但訊号的寬度和恒流幅度的大小，是在收发机調整时决定，故相位特性主要是由高週波設備特性决定。

### 第八节 极性繼电器的整定及閉鎖角

$I_M I_N = 180^\circ$  时，即外部短路时，极性繼电器綫捲中电流为零，繼电器不动作，实际上  $\varphi \leq I_M I_N \leq \varphi_{\delta A}$  时，繼电器也不动作，因此时繼电器綫捲中电流  $I_{po}$  較繼电器动作电流  $I_{cpo}$  小。

$\varphi_{\delta A}$  称为閉鎖角， $\varphi_{cp}$  称为动作角如图22所示。

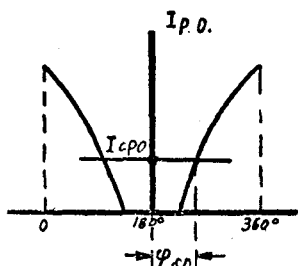


图 21

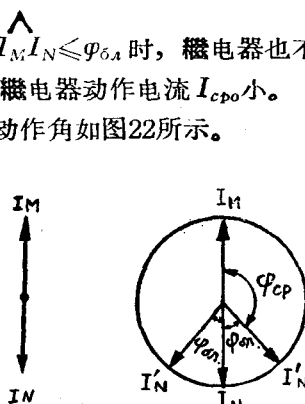


图 22

决定閉鎖角及动作角之方法如下：

#### A. 短 線 路

被保护綫路外部短路时，(如图23)， $I_M I_N$  实际上由于各种原因並非 $180^\circ$ 。

一般电流互感器有角度誤差，故  $I_M I_N$  在电流互感器一次側虽相差 $180^\circ$ ，而二次側則非 $180^\circ$ ，如电流互感器按 $10\%$ 比值誤差曲綫选取时，其最大角度誤差将不超过 $7^\circ$ 。

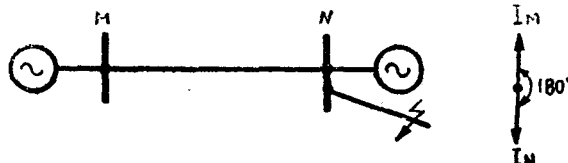


图 23

电流互感器的向量图如图 24.a，其对应的一二次侧电流之正方向如图 24.b，但一般继电保护用的电流互感器的极性乃按图 25.b 标示，故须将图 24.a 中  $I_2$  向量旋转 180° 如图 25.a，图中  $\delta$  即为误差角。凡  $I_1$  退后于  $I_2$  的角度误差均为正，一般电感负荷的  $\delta$  角均为正。

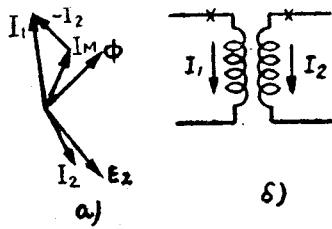


图 24

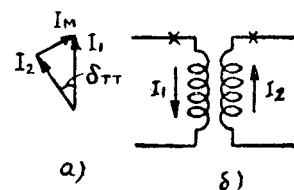


图 25

最大的 10% 误差曲线乃产生于  $I_1$ ,  $I_2$ , 及  $I_M$  皆同相时，如图 26。按 10% 误差计算最大角度误差不会超过 7° 如图 27。

另外，根据试验结果，保护装置本身的误差为 15°。

故考虑电流互感器及保护装置本身误差后，最大的角度误差为  $\delta$

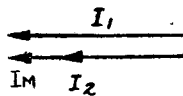


图 26



图 27

$$\delta = \delta_{TT} + \delta_{sau} = 7^\circ + 15^\circ = 22^\circ.$$

由前述，知重叠角  $\alpha = 10^\circ \sim 35^\circ$ ，故  $\alpha$  值可能大于  $\delta$  值，此时如  $\delta < \alpha$  时，极性继电器中将无电流即  $I_{po} = 0$ ，如  $\delta > \alpha$  时，则继电器中将有电流，故可使最小闭锁角  $\varphi_{6A, min} = 45^\circ$ ，此可获得较大的可靠性，闭锁角的数值可利用改变极性继电器的动作电流的方法来调整。如  $\varphi_{6A} = 45^\circ$  时，则动作角  $\varphi_{cp} = 180^\circ - 45^\circ = 135^\circ$ 。

内部短路时，最不良情况下  $\varphi = I_M I_N$  可能达  $100^\circ$ ，此时如  $\varphi_{6A} = 45^\circ$  时，动作角为  $135^\circ$ ，故尚有  $35^\circ$  的裕度。

以上仅考虑短线路的情况，在长线上尚须考虑电磁波传递速度。

## B. 長 線 路

光的速度 = 300 000 公里/秒。

故可求得 50 週波电流之波长为 6000 公里。

若线路的长度为 100 公里, 則传送 50 週波电流时将产生  $6^\circ$  的迟滞。

如图 28 外部短路情况, 設操作电流  $I_N$  自  $N$  側传递至  $M$  側后所迟滞的角度为  $\alpha_L$ :

$$\alpha_L = \frac{L}{100} \cdot 6. \quad (2)$$

式中  $L$  为线路长度。故  $\varphi'$

$\angle I_M' I_N = 180 + \alpha_L$  另加  
上保护裝置本身及电流互  
感器造成的誤差,

$$\begin{aligned} \varphi' &= 180^\circ \\ + (\alpha_L + \delta_{san} + \delta_{TT}) &= 180^\circ \\ + (\alpha_L + 22^\circ). \end{aligned}$$

故为了防止保护裝置誤動作,  
閉鎖角  $\varphi_{sa}$  值应滿足  
下式, 即:

$$\varphi_{sa} > (\alpha_L + 22^\circ),$$

$$\text{亦即 } \varphi_{sa} = (\alpha_L + 22^\circ) + \varphi_{san}. \quad (3)$$

苏联高週波保护裝置相位特性曲綫中 a, b 線段附近几为直  
綫, 如图29所示, 故可按下式整定极性繼电器动作电流  $I_{cp.po}$  值:

$$I_{cp.po} = K_n I_{po}. \quad (4)$$

式中  $K_n = 1.3$

$I_{po}$  —— 对应于图 29 中 b 点的繼电器中电流值。

按(4)式整定, 即可保証  $\varphi_{san} \approx 15^\circ$

$$\text{故: } \varphi_{sa} = (\alpha_L + 22^\circ) + 15^\circ = \alpha_L + 37^\circ. \quad (5)$$

将(2)式中  $\alpha$  值代入, 可得:

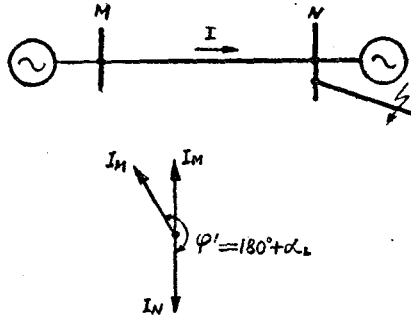


图 28

$$\varphi_{cp} = 37^\circ + 0.06L. \quad (6)$$

故动作角  $\varphi_{cp}$  为:

$$\varphi_{cp} = 180^\circ - \varphi_{6A} = 143^\circ - \alpha_L. \quad (7)$$

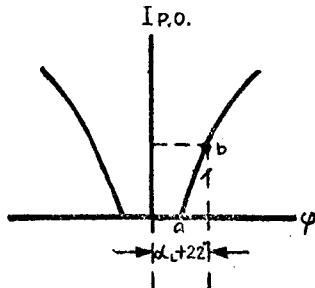


图 29

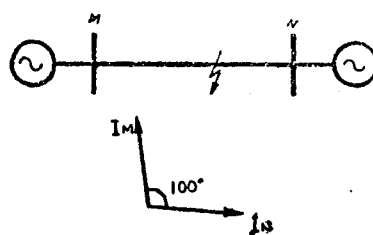


图 30

内部短路时。設短路点靠近  $N$  側，如图 29，則  $I_M I_N = 100^\circ$ ，今在  $M$  側比較兩側电流的相位，則  $\varphi = 100^\circ + \alpha_L$  如圖 31，另由於保護裝置本身及電流互感器的誤差，

$$\varphi = 100^\circ + \alpha_L + 22^\circ = 122^\circ + \alpha_L.$$

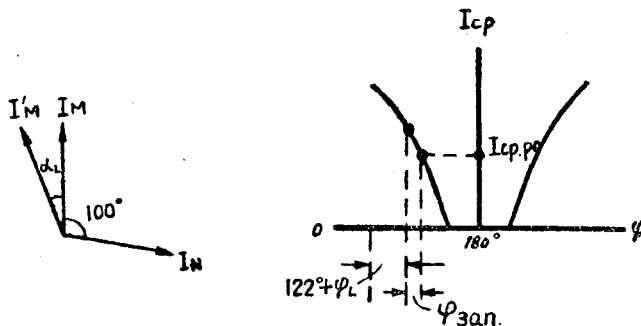


图 31

图 32

考慮裕度，故：

$$\varphi_{cp} = 122^\circ + \alpha_L + \varphi_{3an},$$

$$\varphi_{cp} = 137^\circ + \alpha_L. \quad (8)$$

令(7)与(8)式相等，以求最大的迟滞角  $\alpha_{L\max}$  值。